

# Numerické metody

Doc. RNDr. Libor Čermák, CSc.      RNDr. Rudolf Hlavička, CSc.

Ústav matematiky  
Fakulta strojního inženýrství  
Vysoké učení technické v Brně

24. března 2006

# Obsah

## 4 Numerický výpočet derivace a integrálu

- Úvod
- Numerické derivování
- Richardsonova extrapolace
- Numerické integrování
  - Základní formule
  - Složené formule
  - Doplňující poznatky
- Literatura

Společným východiskem obou postupů je náhrada funkce  $f(x)$  vhodnou approximací  $\varphi(x)$ , která je pak derivována nebo integrována. Jsou-li hodnoty  $y_i \approx f(x_i)$  získány měřením, je vhodné data nejdříve vyrovnat, tj.  $\varphi$  získáme pomocí metody nejmenších čtverců. Pokud je funkce  $f(x)$  zadána přesnými hodnotami  $y_i = f(x_i)$  ve velkém počtu uzlů  $x_i$ , pak je účelné určit  $\varphi$  jako po částech polynomický interpolant. Když je uzlů jen pár, lze jako  $\varphi$  použít Lagrangeův popř. Hermitův polynom nevysokého stupně.

# Obsah

## 4 Numerický výpočet derivace a integrálu

- Úvod
- Numerické derivování
- Richardsonova extrapolace
- Numerické integrování
  - Základní formule
  - Složené formule
  - Doplňující poznatky
- Literatura

Přibližný výpočet derivace  $f'(x)$  má smysl například tehdy, když

- a) pro dané  $x$  můžeme získat odpovídající hodnotu  $y = f(x)$ , avšak explicitní vyjádření funkce  $f(x)$  k dispozici nemáme a proto vzorec pro  $f'(x)$  neumíme napsat;
- b) funkce  $f(x)$  je tak složitá, že výpočet její derivace je příliš pracný;
- c) hodnoty funkce  $f(x)$  známe jen v několika tabulkových bodech.

V takových případech je účelné nahradit funkci  $f(x)$  vhodnou approximací  $\varphi(x)$  a hodnotu derivace  $\varphi'(x)$  považovat za přibližnou hodnotu derivace  $f'(x)$ .

Podobně postupujeme, když potřebujeme přibližně určit vyšší derivace:  $f^{(k)}(x)$  nahradíme pomocí  $\varphi^{(k)}(x)$ .

V dalším si uvedeme několik často používaných formulí založených na derivování Lagrangeova interpolačního polynomu  $P_n(x)$ , tj. když  $f'(x)$  approximujeme pomocí  $P'_n(x)$ .

V dalším si uvedeme několik často používaných formulí založených na derivování Lagrangeova interpolačního polynomu  $P_n(x)$ , tj. když  $f'(x)$  approximujeme pomocí  $P'_n(x)$ .

**Chyba approximace v uzlovém bodě.** Nechť  $f \in C^{n+1}(a, b)$ , kde  $a$  je nejmenší a  $b$  je největší z uzlů interpolace. Pak pro chybu  $f'(x_s) - P'_n(x_s)$  v některém z uzlů  $x_s$  platí

$$f'(x_s) - P'_n(x_s) = \frac{f^{(n+1)}(\xi_s)}{(n+1)!} \omega'_{n+1}(x_s), \quad (4.1)$$

kde  $\omega_{n+1}(x) = (x - x_0)(x - x_1) \cdots (x - x_n)$  a  $\xi_s$  je nějaký bod z intervalu  $(a, b)$ .

**Přehled užitečných vzorců.** Uvažme případ, kdy uzly  $x_i$  jsou **ekvidistantní** s krokem  $h$ , tj.  $x_i = x_0 + ih$ ,  $i = 1, 2, \dots, n$ . Abychom docílili jednotného zápisu, označíme uzel  $x_s$ , v němž počítáme přibližnou hodnotu derivace, vždy jako  $x$ . Také ostatní uzly nečíslujeme, ale vyjadřujeme je pomocí  $x$  jako  $x + h$ ,  $x - h$  apod. Příslušný vzorec je platný jen pro funkce, které mají potřebný počet spojitých derivací. Bod  $\xi$  leží vždy mezi nejmenším a největším uzlem použitým ve vzorci. Pomocí vztahu (4.1) tak dostaneme:

$$n = 1 : \quad f'(x) = \frac{f(x+h) - f(x)}{h} - \frac{1}{2}hf''(\xi), \quad (4.2a)$$

$$f'(x) = \frac{f(x) - f(x-h)}{h} + \frac{1}{2}hf''(\xi), \quad (4.2b)$$

$$n = 2 : \quad f'(x) = \frac{-3f(x) + 4f(x+h) - f(x+2h)}{2h} + \frac{1}{3}h^2f'''(\xi), \quad (4.3a)$$

$$f'(x) = \frac{f(x+h) - f(x-h)}{2h} - \frac{1}{6}h^2f'''(\xi), \quad (4.3b)$$

$$f'(x) = \frac{3f(x) - 4f(x-h) + f(x-2h)}{2h} + \frac{1}{3}h^2f'''(\xi). \quad (4.3c)$$

Uved'me ještě nejznámější formuli  $f''(x_1) \doteq P_2''(x_1)$  pro výpočet druhé derivace.  
Rovnost

$$f''(x) = \frac{f(x+h) - 2f(x) + f(x-h)}{h^2} - \frac{1}{12} h^2 f^{(4)}(\xi). \quad (4.4)$$

ověříme užitím Taylorova rozvoje  $f(x \pm h)$  okolo  $x$ .

Formule ze vzorce (4.2a) je známa jako **první difference vpřed** (dopředná differenční forma) a formule ze vzorce (4.2b) jako **první difference vzad** (zpětná differenční forma). Formule ze vzorce (4.3b) bývá označována jako **první centrální difference** a formule ze vzorce (4.4) jako **druhá centrální difference**.

**Numerický výpočet parciální derivace** nepředstavuje žádný nový problém: derivujeme-li podle proměnné  $x_i$ , ostatních proměnných  $x_j \neq x_i$  si nevšímáme a některou z výše uvedených formulí aplikujeme jen na  $x_i$ . Tak třeba pomocí dopředné differenční formy (4.2a) dostaneme

$$\frac{\partial f(x_1, x_2)}{\partial x_2} \approx \frac{f(x_1, x_2 + h) - f(x_1, x_2)}{h}.$$

**Podmíněnost numerického výpočtu derivace.** Ve vzorcích (4.2) – (4.4) jsme uvedli vždy formuli (jako první sčítanec na pravé straně) a její **diskretizační chybu** (jako druhý sčítanec). Při numerickém výpočtu derivace hrají významnou roli také zaokrouhlovací chyby, a to jak v hodnotách funkce  $f$  (tj. ve vstupních datech), tak při vyhodnocení formule (tj. při výpočtu). Ukážeme si to pro formuli ze vzorce (4.2a).

Ve skutečnosti za přibližnou hodnotu derivace  $f'(x)$  považujeme výraz

$$\begin{aligned}\tilde{f}'(x) &:= \frac{\tilde{f}(x+h) - \tilde{f}(x)}{h} = \\ &= \frac{[f(x+h) + \varepsilon_1] - [f(x) + \varepsilon_0]}{h} = f'(x) + \frac{1}{2}hf''(\xi) + \frac{\varepsilon_1 - \varepsilon_0}{h},\end{aligned}$$

kde  $\varepsilon_1$  resp.  $\varepsilon_0$  je zaokrouhlovací chyba, které se dopustíme při výpočtu  $f(x+h)$  resp.  $f(x)$ . Tedy

$$f'(x) = \frac{\tilde{f}(x+h) - \tilde{f}(x)}{h} + E_d + E_r,$$

kde  $E_d := -\frac{1}{2}hf''(\xi)$  je **diskretizační chyba** a  $E_r := -(\varepsilon_1 - \varepsilon_0)/h$  je **chyba zaokrouhlovací**. Chování obou chyb je pro  $h \rightarrow 0$  diametrálně odlišné: zatímco  $|E_d| \rightarrow 0$ ,  $|E_r| \rightarrow \infty$ . Pro malá  $h$  se tedy zřejmě jedná o špatně podmíněnou úlohu: malé změny  $\varepsilon_0, \varepsilon_1$  ve vstupních datech vyvolají velkou změnu  $E_r$  a následně také výsledku  $\tilde{f}'(x)$ .

Když pro jednoduchost zanedbáme zaokrouhlovací chyby vznikající při vyčíslení formule  $[\tilde{f}(x+h) - \tilde{f}(x)]/h$ , dostáváme pro celkovou chybu  $E = E_d + E_r$  odhad

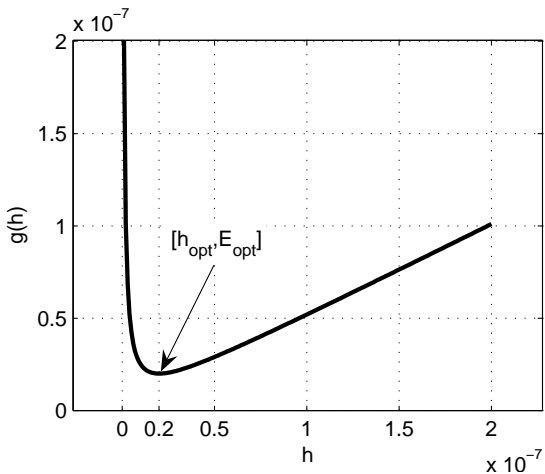
$$|E| \leq |E_d| + |E_r| \leq \frac{1}{2}hM_2 + 2\frac{\varepsilon}{h} \equiv g(h),$$

kde  $M_2 \geq |f''(\xi)|$  a  $\varepsilon \geq \max(|\varepsilon_1|, |\varepsilon_2|)$ . Minimalizací funkce  $g(h)$  obdržíme optimální délku kroku

$$h_{opt} = 2\sqrt{\frac{\varepsilon}{M_2}}, \quad \text{pro kterou} \quad |E_{opt}| = g(h_{opt}) = 2\sqrt{\varepsilon M_2}.$$

Předpokládejme, že hodnoty  $f(x)$  i  $f(x + h)$  dokážeme vypočítat s relativní chybou rovnou přibližně číslu  $\delta$ , takže  $\varepsilon \approx M_0\delta$ , kde  $M_0 \approx \max(|f(x_0)|, |f(x_0 + h)|)$ . Pro  $M_0 \approx M_2$  je  $h_{opt} \approx 2\sqrt{\delta}$  a  $|E_{opt}| \approx 2M_0\sqrt{\delta}$ . Počítáme-li tedy např. ve dvojnásobné přesnosti, tj. když  $\delta \approx 10^{-16}$ , pak  $h_{opt} \approx 2 \cdot 10^{-8}$ . Jestliže navíc  $|f'(x)| \approx M_0$ , pak  $|E_{opt}| \approx 2|f'(x)|\sqrt{\delta}$ , a to znamená, že relativní chyba derivace  $\tilde{f}'(x)$  je řádově rovna druhé odmocnině relativní chyby funkčních hodnot. To nás opravňuje k tvrzení: **při přibližném výpočtu derivace formulí dopředné (nebo zpětné) diference dochází při optimální volbě kroku ke ztrátě přibližně poloviny platných cifer.**

Podobné chování vykazují i ostatní formule numerického derivování, tj. **pro krok  $h$  blízký  $h_{opt}$  je numerický výpočet derivace špatně podmíněná úloha**: nepatrné zmenšení kroku vyvolá značný nárust chyby, viz obr. 4.1.



Obr. 4.1: Chyba numerické derivace: pro  $g(h) = \frac{1}{2}h + 2 \cdot 10^{-16}/h$  je  $h_{opt} = 2 \cdot 10^{-8} = E_{opt}$

# Obsah

## 4 Numerický výpočet derivace a integrálu

- Úvod
- Numerické derivování
- **Richardsonova extrapolace**
- Numerické integrování
  - Základní formule
  - Složené formule
  - Doplňující poznatky
- Literatura

Přibližný výpočet derivace lze efektivně zpřesnit technikou známou jako **Richardsonova extrapolace**. Je to univerzální postup umožňující pomocí základní metody nižší přesnosti vytvářet metody vyšší přesnosti. Ukažme si, jak se to dělá. Předpokládejme, že základní metoda je reprezentována funkcí  $F(h)$  parametru  $h$ . Metodou  $F$  umíme vypočítat hodnotu  $F(h)$  pro malá  $h > 0$ . Naším cílem je co nejpřesněji approximovat hodnotu  $F(0)$ , kterou však přímo z formule  $F$  určit neumíme.

Předpokládejme, že funkce  $F(h)$  může být zapsána ve tvaru mocninného rozvoje

$$F(h) = a_0 + a_1 h^2 + a_2 h^4 + a_3 h^6 + \dots \quad (4.5)$$

Pro malé  $h$  je  $F(h)$  jistě dobrou approximací  $F(0) = a_0$ . Pokusíme se najít lepší approximaci  $a_0$ . Začneme tím, že vypočteme  $F(\frac{h}{2})$ . Podle (4.5) platí

$$F\left(\frac{h}{2}\right) = a_0 + a_1 \left(\frac{h}{2}\right)^2 + a_2 \left(\frac{h}{2}\right)^4 + a_3 \left(\frac{h}{2}\right)^6 + \dots \quad (4.6)$$

Největší chybu ve výrazu  $a_0 - F(h)$  i  $a_0 - F(\frac{h}{2})$  představuje člen obsahující druhou mocninu  $h$ . Zbavíme se ho tak, že od čtyřnásobku rovnice (4.6) odečteme rovnici (4.5) a výsledek dělíme třema. Tak dostaneme

$$F_2(h) := \frac{4F(\frac{h}{2}) - F(h)}{3} = a_0 + a_2^{(2)} h^4 + a_3^{(2)} h^6 + \dots \quad (4.7)$$

Konkrétní hodnoty koeficientů u mocnin  $h$  nás nezajímají, takže se spokojíme s tím, že je označíme pomocí horního indexu jako  $a_2^{(2)}, a_3^{(2)}, \dots$ . Není však bez zajímavosti, že  $|a_s^{(2)}| < |a_s|$ .  $F_2(h)$  je proto lepší approximace  $a_0$  než  $F(h)$ , a pro dosti malé  $h$  je také lepší approximace než  $F(\frac{h}{2})$ , neboť  $a_0 - F_2(h)$  začíná až čtvrtou mocninou  $h$ . Dostali jsme tedy metodu  $F_2$ , která je (pro dosti malá  $h$ ) lepší než původní metoda  $F$ . Protože  $F_2(h) \approx F(0)$  je spočtena pomocí hodnot funkce  $F$  pro  $h$  a  $\frac{h}{2}$ , představuje  $F_2(h)$  **extrapolaci funkce  $F$  do nuly** (ověřte, že  $F_2(h) = P_1(0)$ , kde  $P_1(t)$  je lineární interpolační polynom procházející body  $[(\frac{h}{2})^2, F(\frac{h}{2})]$  a  $[h^2, F(h)]$ ).

Podobným postupem odstraníme z  $F_2(h)$  člen obsahující čtvrtou mocninu  $h$  a získáme ještě lepší aproximaci  $F(0)$ . Nejprve vypočteme  $F_2(\frac{h}{2})$ . Podle (4.7) platí

$$F_2\left(\frac{h}{2}\right) = a_0 + a_2^{(2)} \left(\frac{h}{2}\right)^4 + a_3^{(2)} \left(\frac{h}{2}\right)^6 + \dots \quad (4.8)$$

Rovnici (4.8) násobíme 16, odečteme (4.7) a výsledek dělíme 15. Tak dostaneme metodu  $F_3$ , která je pro zvolené  $h$  definována předpisem

$$F_3(h) := \frac{16F_2\left(\frac{h}{2}\right) - F_2(h)}{15} = a_0 + a_3^{(3)} h^6 + \dots \quad (4.9)$$

Všimněte si, abychom mohli vypočítat  $F_2(\frac{h}{2})$ , musíme nejdříve určit  $F(\frac{h}{4})$ .

Takto můžeme pokračovat a získávat stále lepší metody, pro které

$$F_{i+1}(h) = \frac{4^i F_i(\frac{h}{2}) - F_i(h)}{4^i - 1} = a_0 + a_{i+1}^{(i+1)} h^{2i+2} + \dots, \quad i = 1, 2, \dots \quad (4.10)$$

a kde  $F_1(h) = F(h)$ . Protože  $F_i(h) - F(0) = a_i^{(i)} h^{2i} + \dots$ , řekneme, že  $F_i(h)$  je approximace  $F(0)$  řádu  $h^{2i}$ . Výpočet lze přehledně uspořádat do tabulky

$F_1(h)$							$T_{00}$
$F_1(\frac{h}{2})$	$F_2(h)$						$T_{10} \quad T_{11}$
$F_1(\frac{h}{4})$	$F_2(\frac{h}{2})$	$F_3(h)$					$T_{20} \quad T_{21} \quad T_{22}$
$F_1(\frac{h}{8})$	$F_2(\frac{h}{4})$	$F_3(\frac{h}{2})$	$F_4(h)$				$T_{30} \quad T_{31} \quad T_{32} \quad T_{33}$
$F_1(\frac{h}{16})$	$F_2(\frac{h}{8})$	$F_3(\frac{h}{4})$	$F_4(\frac{h}{2})$	$F_5(h)$			$T_{40} \quad T_{41} \quad T_{42} \quad T_{43} \quad T_{44}$
:	:	:	:	:	⋮		⋮

Tab. 4.1 Richardsonova extrapolace

Tabulkou vyplňujeme po řádcích. Prvky tabulky označíme jako  $T_{si}$ , kde  $s = 0, 1, \dots$  je řádkový index a  $i = 0, 1, \dots s$  je index sloupcový. Prvek  $T_{s0}$  v prvním sloupci tabulky vypočteme pomocí základní metody  $F = F_1$ ,

$$T_{s0} = F(h/2^s), \quad s = 0, 1, \dots, \quad (4.11)$$

a další prvky v tomto řádku počítáme ve shodě s (4.10) podle předpisu

$$T_{si} := \frac{4^i T_{s,i-1} - T_{s-1,i-1}}{4^i - 1} = T_{s,i-1} + \frac{T_{s,i-1} - T_{s-1,i-1}}{4^i - 1}, \quad i = 1, 2, \dots, s. \quad (4.12)$$

Výpočet ukončíme a  $T_{si}$  považujeme za dostatečně přesnou approximaci  $F(0)$ , pokud

$$|T_{s,i} - T_{s,i-1}| < \max(\varepsilon_r |T_{si}|, \varepsilon_a), \quad (4.13)$$

kde  $\varepsilon_r$  je požadovaná relativní přesnost a  $\varepsilon_a$  požadovaná přesnost absolutní.

**Příklad 4.1.** Richardsonovu extrapolaci použijeme pro zpřesnění výpočtu derivace podle formule (4.3b). Jestliže má funkce  $f$  dostatečný počet spojitých derivací, pak

$$F(h) := \frac{f(x+h) - f(x-h)}{2h} = f'(x) + \frac{1}{3!} h^2 f^{(3)}(x) + \frac{1}{5!} h^4 f^{(5)}(x) + \dots, \quad (4.14)$$

takže  $F(h)$  je tvaru (4.5).

Počítejme derivaci funkce  $f(x) = \cos x$  pro  $x = 1$ . Zvolíme např.  $h = 0,8$  a výpočet ukončíme, když bude splněna podmínka (4.13) pro  $\varepsilon_r = \varepsilon_a = 10^{-5}$ . V následující tabulce značíme  $h_s = h/2^s$ , prvky  $T_{s0}$  počítáme ze vztahu

$$T_{s0} = \frac{\cos(1 + h_s) - \cos(1 - h_s)}{2h_s},$$

prvky  $T_{s1}$  a  $T_{s2}$  v dalších sloupcích počítáme podle (4.12). Čísla v tabulce jsou zaokrouhlena na 6 cifer. Protože  $|T_{32} - T_{31}| < 10^{-5}$ , považujeme  $T_{32} = -0,841471$  za přibližnou hodnotu  $f'(1)$ . Přesná hodnota  $f'(1) = -\sin(1) \doteq -0,84147098$ , takže  $T_{32}$  má

$s$	$h_s$	$T_{s0}$	$T_{s1}$	$T_{s2}$
0	0,8	-0,754543		
1	0,4	-0,819211	-0,840766	
2	0,2	-0,835872	-0,841426	-0,841470
3	0,1	-0,840069	-0,841468	-0,841471

všechny cifry platné.  $\square$

**Poznámka.** Richardsonovu extrapolaci lze aplikovat na základní metodu  $F$  také v případě, když má funkce  $F(h)$  obecný rozvoj

$$F(h) = a_0 + a_1 h^{p_1} + a_2 h^{p_2} + a_3 h^{p_3} + \dots \quad (4.5')$$

kde  $1 \leq p_1 < p_2 < p_3 < \dots$  jsou přirozená čísla. Přesnější metodu  $F_{i+1}$  v tom případě definujeme předpisem

$$F_{i+1}(h) = \frac{2^{p_i} F_i(\frac{h}{2}) - F_i(h)}{2^{p_i} - 1} = a_0 + a_{i+1}^{(i+1)} h^{p_{i+1}} + \dots, \quad i = 1, 2, \dots, \quad (4.10')$$

a  $T_{si}$  počítáme podle

$$T_{si} := \frac{2^{p_i} T_{s,i-1} - T_{s-1,i-1}}{2^{p_i} - 1} = T_{s,i-1} + \frac{T_{s,i-1} - T_{s-1,i-1}}{2^{p_i} - 1}, \quad i = 1, 2, \dots, s. \quad (4.12')$$

Protože  $F_i(h) - F(0) = a_i^{(i)} h^{p_i} + \dots$ , řekneme, že  $F_i(h)$  je aproximace  $F(0)$  řádu  $h^{p_i}$ . Pro  $p_i = 2i$  dostaneme dříve uvažovaný případ, viz (4.5), (4.10) a (4.12).  $\square$

**Příklad 4.2.** Richardsonovou extrapolací zpřesníme výpočet derivace podle formule (4.2a). Z Taylorovy věty dostaneme

$$F(h) := \frac{f(x+h) - f(x)}{h} = f'(x) + \frac{1}{2!} hf^{(2)}(x) + \frac{1}{3!} h^2 f^{(3)}(x) + \dots, \quad (4.15)$$

což odpovídá (4.5') pro  $p_i = i$ . Počítat budeme stejnou úlohu jako v příkladu 4.1. Tentokrát požadovanou přesnost dosáhneme až pro  $T_{54}$ .

$s$	$h_s$	$T_{s0}$	$T_{s1}$	$T_{s2}$	$T_{s3}$	$T_{s4}$
0	0,8	-0,959381				
1	0,4	-0,925838	-0,892295			
2	0,2	-0,889723	-0,853608	-0,840712		
3	0,1	-0,867062	-0,844401	-0,841332	-0,841421	
4	0,05	-0,854625	-0,842188	-0,841451	-0,841468	-0,841471
5	0,025	-0,848137	-0,841648	-0,841468	-0,841471	-0,841471

Richardsonova extrapolace je méně účinná: zatímco pro formuli (4.3b) je  $T_{32}$  approximace řádu  $h^6$ , pro formuli (4.2a) je  $T_{54}$  approximace řádu  $h^5$  a k dosažení požadované přesnosti bylo třeba zvolit menší  $h_s$ .  $\square$

# Obsah

## 4 Numerický výpočet derivace a integrálu

- Úvod
- Numerické derivování
- Richardsonova extrapolace
- Numerické integrování
  - Základní formule
  - Složené formule
  - Doplňující poznatky
- Literatura

Cílem tohoto odstavce je přibližný výpočet integrálu  $I(f) := \int_a^b f(x) dx$ . Existuje několik důvodů, proč tento integrál nepočítáme přesně, například

- a) integrál  $I(f)$  neumíme spočítat analytickými metodami;
- b) analytický výpočet je příliš pracný;
- c) funkce  $f(x)$  je dána jen tabulkou.

Za přibližnou hodnotu integrálu  $I(f)$  považujeme integrál  $Q(f) := I(\varphi)$ , kde  $\varphi(x)$  je vhodná approximace funkce  $f(x)$ . Předpis  $Q(f)$  pro přibližný výpočet integrálu se nazývá **kvadraturní formule**. Rozdíl  $I(f) - Q(f)$  označíme  $R(f)$  a nazveme **(diskretizační) chybou kvadraturní formule**, tedy

$$I(f) = Q(f) + R(f).$$

Řekneme, že kvadraturní formule je řádu  $r$ , když integruje přesně polynomy stupně  $r$  a polynomy stupně  $r + 1$  už přesně neintegruje, tj. když  $R(x^k) = 0$  pro  $k = 0, 1, \dots, r$ , a  $R(x^{r+1}) \neq 0$ .

Řád formule stačí ověřit na intervalu  $\langle a, b \rangle = \langle 0, 1 \rangle$ . Skutečně, pomocí transformace  $x = a + t(b - a)$  dostaneme  $\int_a^b x^k dx = (b - a) \int_0^1 g(t) dt$ , kde  $g(t) = (a + t(b - a))^k$  je polynom stupně  $k$  v proměnné  $t$ . Proto když formule integruje přesně polynomy stupně  $k \leq r$  na intervalu  $\langle 0, 1 \rangle$ , integruje přesně také polynomy stupně  $r$  na intervalu  $\langle a, b \rangle$ .

## Základní formule

dostaneme integrací interpolačního polynomu.

**Obdélníková formule.** Když  $P_0(x) = f(\frac{1}{2}(a+b))$  je polynom stupně 0, tj. konstanta rovná hodnotě funkce  $f$  ve středu  $\frac{1}{2}(a+b)$  intervalu  $(a, b)$ , pak odpovídající formule

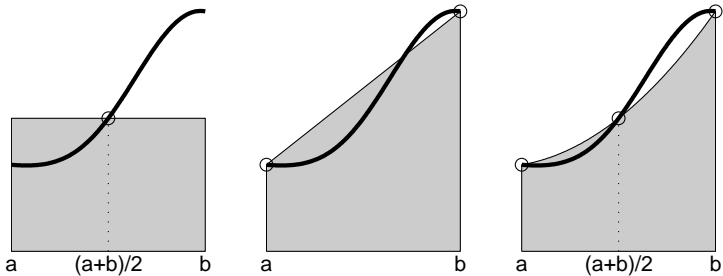
$$Q_M(f) := \int_a^b P_0(x) dx = (b-a)f\left(\frac{a+b}{2}\right). \quad (4.16)$$

Název formule vyjadřuje skutečnost, že pro  $f(\frac{1}{2}(a+b)) > 0$  je  $Q_M(f)$  obsah obdélníka o stranách délky  $b-a$  a  $f(\frac{1}{2}(a+b))$ . Obdélníková formule (4.16) se v anglicky psané literatuře označuje jako „midpoint rule“, odtud index  $M$ .

Obdélníková formule je řádu 1: na intervalu  $\langle 0, 1 \rangle$  je  $Q_M(1) = 1 = I(1)$ ,  $Q_M(x) = \frac{1}{2} = I(x)$  a  $Q_M(x^2) = \frac{1}{4} \neq \frac{1}{3} = I(x^2)$ . Pro chybu  $R_M(f)$  obdélníkové formule lze za předpokladu, že  $f \in C^2(a, b)$ , odvodit

$$R_M(f) = \frac{1}{24} f''(\xi)(b-a)^3, \quad \text{kde } \xi \in (a, b) \quad (4.17)$$

je nějaký (blíže neurčený) bod intervalu  $(a, b)$ .



Obr. 4.2: Obdélníková, lichobežníková a Simpsonova formule

**Lichoběžníková formule.** Jako  $P_1(x)$  označíme lineární polynom procházející body  $[a, f(a)]$  a  $[b, f(b)]$ . Integrací  $P_1(x)$  na intervalu  $\langle a, b \rangle$  obdržíme

$$Q_T(f) := \int_a^b P_1(x) dx = \frac{b-a}{2} [f(a) + f(b)]. \quad (4.18)$$

Název formule vyjadřuje skutečnost, že pro  $f(a) > 0, f(b) > 0$  je  $Q_T(f)$  obsah lichoběžníka, jehož rovnoběžné strany mají délky  $f(a), f(b)$  a jehož výška je rovna  $b - a$ . Index  $T$  je první písmeno anglického slůvka trapezoid, česky lichoběžník. Lichoběžníková formule je řádu 1: lineární polynom integruje přesně, kvadratický nikoliv. Když  $f \in C^2\langle a, b \rangle$ , pak pro chybu lichoběžníkové formule platí

$$R_T(f) = -\frac{1}{12} f''(\xi)(b-a)^3, \quad \text{kde } \xi \in (a, b). \quad (4.19)$$

Všimněte si:

- a) Pokud se druhá derivace  $f''(x)$  funkce  $f(x)$  na intervalu  $\langle a, b \rangle$  příliš nemění, pak je absolutní hodnota  $|R_T(f)|$  chyby lichoběžníkové formule přibližně dvakrát větší než absolutní hodnota  $|R_M(f)|$  chyby obdélníkové.
- b) Pokud druhá derivace  $f''(x)$  funkce  $f(x)$  nemění na intervalu  $\langle a, b \rangle$  znaménko, tj. je-li funkce  $f(x)$  pořád konvexní nebo konkávní, pak znaménko chyby lichoběžníkové formule je opačné než znaménko chyby formule obdélníkové. Za těchto okolností přesná hodnota  $I(f)$  integrálu leží v intervalu, jehož krajní body jsou hodnoty  $Q_M(f)$  a  $Q_T(f)$ .

**Simpsonova formule.** Integrací kvadratického interpolačního polynomu  $P_2(x)$  procházejícího body  $[a, f(a)]$ ,  $[\frac{1}{2}(a+b), f(\frac{1}{2}(a+b))]$  a  $[b, f(b)]$  dostaneme

$$Q_S(f) = \int_a^b P_2(x) dx = \frac{b-a}{6} \left[ f(a) + 4f\left(\frac{a+b}{2}\right) + f(b) \right]. \quad (4.20)$$

Simpsonova formule je řádu 3. Ověřte! (Stačí porovnat  $Q_S(x^k)$  a  $I(x^k)$  na intervalu  $\langle 0, 1 \rangle$  postupně pro  $k = 0, 1, 2, 3, 4$ .) Když  $f \in C^4(a, b)$ , pro chybu platí

$$R_S(f) = -\frac{1}{90} f^{(4)}(\xi) \left( \frac{b-a}{2} \right)^5, \quad \text{kde } \xi \in (a, b). \quad (4.21)$$

**Booleova formule** vznikne integrací interpolačního polynomu  $P_4(x)$ , jehož uzly jsou kromě koncových bodů  $a, b$  také střed  $\frac{1}{2}(a+b)$  intervalu  $\langle a, b \rangle$  a body  $a + \frac{1}{4}(b-a)$  a  $b - \frac{1}{4}(b-a)$  ležící v jedné čtvrtině a ve třech čtvrtinách intervalu  $\langle a, b \rangle$ . Booleova formule

$$Q_B(f) = \frac{b-a}{90} \left[ 7f(a) + 32f\left(\frac{3a+b}{4}\right) + 12f\left(\frac{a+b}{2}\right) + 32f\left(\frac{a+3b}{4}\right) + 7f(b) \right]$$

je řádu 5 (ověřte!). Pokud  $f \in C^6\langle a, b \rangle$ , pro chybu platí

$$R_B(f) = -\frac{8}{945} f^{(6)}(\eta_B) \left(\frac{b-a}{4}\right)^7, \quad \text{kde } \xi \in (a, b).$$

## Složené formule

Abychom dostali dostatečně přesnou approximaci integrálu  $I(f)$ , rozdělíme interval  $\langle a, b \rangle$  na kratší podintervaly a na každém z nich použijeme některou ze základních formulí. Omezíme se na případ, kdy základní formule na podintervalech jsou vždy stejné, a to buďto obdélníkové nebo lichoběžníkové nebo Simpsonovy (sestavení složené Booleovy formule ponecháváme čtenáři jako cvičení). Budeme uvažovat **rovnoramenné (=ekvidistantní) dělení**

$$a = x_0 < x_1 < \dots < x_n = b, \text{ kde } x_i = a + ih, h = (b - a)/n \text{ a } i = 0, 1, \dots, n. \quad (4.22)$$

Složenou formuli na dělení (4.22) budeme značit pomocí horního indexu  $n$ . Délka  $h$  se nazývá **krok dělení**.

**Složenou obdélníkovou formulí** dostaneme součtem jednoduchých obdélníkových formulí  $hf(x_{i-1} + \frac{1}{2}h)$  na podintervalech  $\langle x_{i-1}, x_i \rangle$ . Výsledkem je složená formule

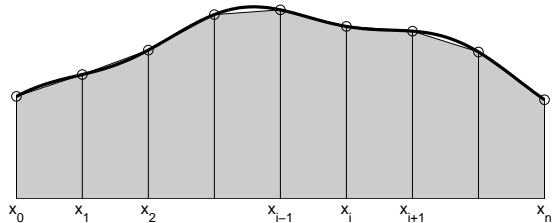
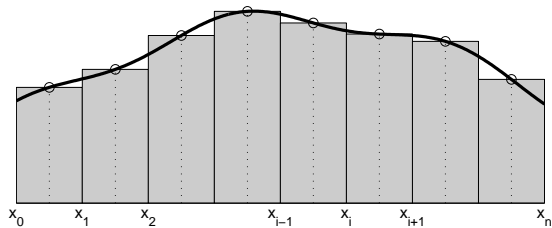
$$Q_M^n(f) := h \left[ f\left(x_0 + \frac{1}{2}h\right) + f\left(x_1 + \frac{1}{2}h\right) + \cdots + f\left(x_{n-1} + \frac{1}{2}h\right) \right]. \quad (4.23)$$

Chybu  $R_M^n(f)$  dostaneme jako součet dílčích chyb  $\frac{1}{24}f''(\xi_i)h^3$  na  $\langle x_{i-1}, x_i \rangle$ :

$$\begin{aligned} R_M^n(f) &= \frac{1}{24}h^3f''(\xi_1) + \frac{1}{24}h^3f''(\xi_2) + \cdots + \frac{1}{24}h^3f''(\xi_n) = \\ &= \frac{1}{24}h^2 \frac{b-a}{n} [f''(\xi_1) + f''(\xi_2) + \cdots + f''(\xi_n)]. \end{aligned}$$

Ze spojitosti  $f''$  plyne, že aritmetický průměr  $[f''(\xi_1) + f''(\xi_2) + \cdots + f''(\xi_n)]/n$  druhých derivací je roven druhé derivaci  $f''(\xi)$  v nějakém bodě  $\xi \in (a, b)$ . Pro chybu  $R_M^n(f)$  složené obdélníkové formule tedy platí

$$R_M^n(f) = \frac{b-a}{24}f''(\xi)h^2, \quad \text{kde } \xi \in (a, b). \quad (4.24)$$



Obr. 4.3: Složená obdélníková a lichobežníková formule

**Složená lichoběžníková formule** vznikne součtem jednoduchých lichoběžníkových formulí  $\frac{1}{2}h[f(x_{i-1}) + f(x_i)]$  na podintervalech  $\langle x_{i-1}, x_i \rangle$ . Výsledkem je formule

$$Q_T^n(f) := h \left[ \frac{1}{2}f(x_0) + f(x_1) + \cdots + f(x_{n-1}) + \frac{1}{2}f(x_n) \right]. \quad (4.25)$$

Chybu  $R_T^n(f)$  dostaneme jako součet chyb  $-\frac{1}{12}f''(\xi_i)h^3$  na podintervalech  $\langle x_{i-1}, x_i \rangle$ . Po jednoduché úpravě obdržíme

$$R_T^n(f) = -\frac{b-a}{12}f''(\xi)h^2, \quad \text{kde } \xi \in (a, b). \quad (4.26)$$

**Složenou Simpsonovu formulí** dostaneme pro sudý počet  $n$  dílků tak, že sečteme jednoduché Simpsonovy formule na intervalech  $\langle x_0, x_2 \rangle$ ,  $\langle x_2, x_4 \rangle$ ,  $\dots$ ,  $\langle x_{n-2}, x_n \rangle$  délky  $2h$ :

$$\begin{aligned} Q_S^n(f) := & \frac{2h}{6}[f(x_0) + 4f(x_1) + f(x_2)] + \frac{2h}{6}[f(x_2) + 4f(x_3) + f(x_4)] + \dots \\ & \frac{2h}{6}[f(x_{n-4}) + 4f(x_{n-3}) + f(x_{n-2})] + \frac{2h}{6}[f(x_{n-2}) + 4f(x_{n-1}) + f(x_n)]. \end{aligned}$$

Odtud tedy

$$Q_S^n(f) := \frac{h}{3}[f(x_0) + 4f(x_1) + 2f(x_2) + 4f(x_3) + \dots + 2f(x_{n-2}) + 4f(x_{n-1}) + f(x_n)]. \quad (4.27)$$

Chyba  $R_S^n(f)$  je součtem chyb na podintervalech:

$$\begin{aligned} R_S^n(f) = & -\frac{1}{90} h^5 f^{(4)}(\xi_2) - \frac{1}{90} h^5 f^{(4)}(\xi_4) - \cdots - \frac{1}{90} h^5 f^{(4)}(\xi_n) = \\ & -\frac{1}{90} h^4 \frac{b-a}{2} \left\{ \frac{2}{n} \left[ f^{(4)}(\xi_2) + f^{(4)}(\xi_4) + \cdots + f^{(4)}(\xi_n) \right] \right\}. \end{aligned}$$

Když aritmetický průměr čtvrtých derivací (tj. výraz ve složené závorce) nahradíme členem  $f^{(4)}(\xi)$ , dostaneme

$$R_S^n(f) = -\frac{b-a}{180} f^{(4)}(\xi) h^4, \quad \text{kde } \xi \in (a, b). \quad (4.28)$$

**Jak dosáhnout požadované přesnosti.** Vyhstává otázka jak zajistit, aby chyba, které se při numerickém výpočtu integrálu dopustíme, byla menší než zadaná tolerance  $\varepsilon$ . Ve vzorcích (4.24), (4.26) a (4.28) bohužel vystupuje blíže neurčené číslo  $\xi$ , o němž víme jen to, že leží někde v intervalu  $(a, b)$ . Když označíme

$$M_2 = \max_{x \in (a, b)} |f''(x)|, \quad M_4 = \max_{x \in (a, b)} |f^{(4)}(x)|,$$

pak chyby můžeme odhadnout podle vztahu

$$|R_M^n(f)| \leq \frac{b-a}{24} M_2 h^2 \quad \text{pro složenou obdélníkovou formuli,} \quad (4.24')$$

$$|R_T^n(f)| \leq \frac{b-a}{12} M_2 h^2 \quad \text{pro složenou lichoběžníkovou formuli,} \quad (4.26')$$

$$|R_S^n(f)| \leq \frac{b-a}{180} M_4 h^4 \quad \text{pro složenou Simpsonovu formuli.} \quad (4.28')$$

Počet dílků  $n = (b-a)/h$  pak lze určit tak, aby  $|R_M^n(f)| \leq \varepsilon$  popř.  $|R_T^n(f)| \leq \varepsilon$  nebo  $|R_S^n(f)| \leq \varepsilon$ . Takto stanovený počet dílků je však zpravidla přehnaně velký. To je důsledek toho, že jsme v odhadech chyb nahradili derivaci v blíže neurčeném bodě maximem této derivace na celém intervalu  $\langle a, b \rangle$ .

**Příklad 4.3.** Určeme počet dílků  $n$  tak, abychom vypočítali  $\int_0^{\pi/2} e^x \cos x \, dx$  s chybou nejvýše  $10^{-4}$  pomocí složené obdélníkové, lichoběžníkové a Simpsonovy formule. Přesná hodnota  $\int_0^{\pi/2} e^x \cos x \, dx = \frac{1}{2}e^x(\cos x + \sin x)|_0^{\pi/2} \doteq 1,905239$ . Pro  $f(x) = e^x \cos x$  je  $f''(x) = -2e^x \sin x$  a tedy  $M_2 = 2e^{\pi/2}$ . V případě obdélníkové formule pomocí (4.24') odvodíme:

$$|R_M^n(f)| \leq \frac{\pi/2}{24} 2e^{\pi/2} \left( \frac{\pi/2}{n} \right)^2 \leq 10^{-4} \quad \Rightarrow \quad n \geq 125.$$

Provedeme-li výpočet s tímto  $n$  podle (4.23), dostaneme  $Q_M^{125}(f) \doteq 1,905277$ , takže skutečná chyba je asi  $3,8 \cdot 10^{-5}$ . Cestou pokusů se ukázalo, že pro dosažení požadované tolerance stačí vzít  $n = 78$ .

V případě lichoběžníkové formule pomocí (4.26') odvodíme:

$$|R_T^n(f)| \leq \frac{\pi/2}{12} 2 e^{\pi/2} \left( \frac{\pi/2}{n} \right)^2 \leq 10^{-4} \quad \Rightarrow \quad n \geq 177.$$

Výpočtem podle (4.25) dostaneme  $Q_T^{177}(f) \doteq 1,905201$ , tj. skutečná chyba je asi  $3,8 \cdot 10^{-5}$ . Experimentálně lze ověřit, že požadovanou přesnost lze dosáhnout už při  $n = 110$ .

Všimněte si, že  $Q_T^{177}(f) < I(f) < Q_M^{125}(f)$ . To není náhoda. Na  $\langle 0, \pi/2 \rangle$  je  $f''(x) < 0$ , tj.  $f$  je konkávní, a proto  $Q_T^{n_1}(f) < I(f) < Q_M^{n_2}(f)$  pro libovolné počty  $n_1, n_2$  dílků.

Pro odhad počtu dílků Simpsonovy formule vypočteme  $f^{(4)}(x) = -4e^x \cos x$  a určíme  $M_4 = 4e^{\pi/2}$ . Podle (4.28') tak odvodíme:

$$|R_S^n(f)| \leq \frac{\pi/2}{180} 4 e^{\pi/2} \left( \frac{\pi/2}{n} \right)^4 \leq 10^{-4} \quad \Rightarrow \quad n \geq 12.$$

Výpočtem podle (4.27) dostaneme  $Q_S^{12}(f) \doteq 1,905226$ , tj. skutečná chyba je asi  $1,3 \cdot 10^{-5}$ . Požadovaná přesnost je ve skutečnosti dosažena už pro  $n = 8$ .  $\square$

**Metoda polovičního kroku.** Chybu složené kvadraturní formule je možné odhadnout postupem, kterému se často říká **metoda polovičního kroku**. Název vystihuje podstatu metody: integrál spočteme nejdříve s krokem  $h$ , pak s polovičním krokem  $h/2$ , a vhodnou kombinací obou těchto výsledků obdržíme odhad chyby.

Ted' si to vysvětlíme podrobněji. Vyjdeme z toho, že pro složenou formuli s  $n$  dílkami délky  $h$  platí

$$I(f) = Q^n(f) + cf^{(p)}(\xi)h^p,$$

kde  $c$  je konstanta,  $\xi$  je nějaký bod intervalu  $(a, b)$  a  $p - 1$  je řád formule, viz (4.24), (4.26) a (4.28). Když použijeme tutéž formuli, ale tentokrát pro dvojnásobný počet  $2n$  dílků, pak místo původní délky  $h$  délku budeme pracovat s poloviční délkou  $h/2$  a dostaneme

$$I(f) = Q^{2n}(f) + cf^{(p)}(\eta) \left(\frac{h}{2}\right)^p,$$

kde  $\eta$  je nějaký bod z  $(a, b)$ . Předpokládejme nyní, že derivace  $f^{(p)}(x)$  se na intervalu  $(a, b)$  příliš nemění, takže  $f^{(p)}(\xi) \approx f^{(p)}(\eta)$ . Když označíme  $M = cf^{(p)}(\eta) \approx cf^{(p)}(\xi)$ , pak

$$I(f) = Q^{2n}(f) + M \left(\frac{h}{2}\right)^p \approx Q^n(f) + Mh^p.$$

Odtud vyjádříme  $M \left(\frac{h}{2}\right)^p$  a tak dostaneme odhad  $\tilde{R}^{2n}(f)$  chyby  $R^{2n}(f) = I(f) - Q^{2n}(f)$ :

$$\tilde{R}^{2n}(f) := \frac{1}{2^p - 1} [Q^{2n}(f) - Q^n(f)]. \quad (4.29)$$

Výpočet zajišťující dosažení požadované přesnosti  $\varepsilon$  organizujeme tak, že nejprve vypočteme  $Q^{n_0}(f)$  pro počáteční dělení intervalu  $\langle a, b \rangle$  na  $n_0$  dílků. Postupně počet dílků zdvojnásobujeme, tj. počítáme  $Q^{n_s}(f)$  pro  $n_s = 2^s n_0$ , kde  $s = 1, 2, \dots$ . Když pro určité  $n_s$  bude  $|\tilde{R}^{2n_s}(f)| < \varepsilon$ , pak za přibližnou hodnotu  $I(f)$  považujeme hodnotu formule  $Q^{2n_s}(f)$  zpřesněnou tím, že k ní přičteme odhad chyby  $\tilde{R}^{2n_s}(f)$ , tj.  $I(f)$  approximujeme pomocí

$$Q(f) := Q^{2n_s}(f) + \tilde{R}^{2n_s}(f). \quad (4.30)$$

Celý postup je vlastně jedním krokem Richardsonovy extrapolace, viz (4.5') a (4.12'):  $Q^{n_s}(f)$  odpovídá  $T_{s0}$  z prvního sloupce tabulky 4.1 a zpřesněná hodnota odpovídá  $T_{s+1,1}$  z druhého sloupce.

**Příklad 4.4.** Počítejme opět  $\int_0^{\pi/2} e^x \cos x \, dx$  s přesností  $10^{-4}$ . Na počátku zvolíme dva díly a dále pak  $4, 8, \dots$ . Metodou polovičního kroku zjistíme, že pro obdélníkovou a lichoběžníkovou formuli ( $p = 2$ ) stačí použít 128 dílků a pro Simpsonovu formuli ( $p = 4$ ) postačí 8 dílků. Zpřesněná hodnota (4.30) dosažená pro uvedené počty dílků je výrazně přesnější než požadovaná přesnost  $10^{-4}$ .  $\square$

**Rombergova integrace** je založena na Richardsonově extrapolaci složené lichoběžníkové formule. Když má totiž funkce  $f$  dostatečný počet spojitých derivací, pak je známo, že pro  $F(h) := Q_T^n(f)$ , kde  $h = (b - a)/n$ , platí rozvoj (4.5), v němž  $a_0 = I(f)$ , tj.

$$Q_T^n(f) = I(f) + a_1 h^2 + a_2 h^4 + a_3 h^6 + \dots$$

Přibližný výpočet integrálu  $I(f)$  lze proto provést podle vzorců (4.11)–(4.13). Označíme-li  $n_s = 2^s n$  a  $h_s = 2^{-s} h$ ,  $s = 0, 1, \dots$ , pak  $T_{s0} = Q_T^{n_s}(f)$  je složená lichoběžníková formule pro  $n_s$  dílků. Při jejím výpočtu s výhodou využijeme hodnot funkce  $f$ , které jsme už dříve vypočetli na hrubších děleních. Dá se ukázat, že  $T_{s1} = Q_S^{n_s}(f)$  je složená Simpsonova formule a  $T_{s2} = Q_B^{n_s}(f)$  je složená Booleova formule. Obecně platí, že  $T_{si}$  je kvadraturní formule řádu  $2i + 1$  s krokem  $h_s$ .

**Příklad 4.5.** Rombergovou metodou vypočteme  $\int_0^{\pi/2} e^x \cos x \, dx$  s přesností  $10^{-4}$ . Výsledek je zaznamenán v následující tabulce. Protože  $|I(f) - T_{22}| \doteq 2,7 \cdot 10^{-6}$ ,  $T_{22} = 1,90524$  má

$s$	$n_s$	$T_{s0}$	$T_{s1}$	$T_{s2}$
0	2	1,61076		
1	4	1,83082	1,90418	
2	8	1,88659	1,90517	1,90524

všechny cifry platné.  $\square$

## Doplňující poznatky

Obecný tvar kvadraturní formule je

$$Q(f) = w_0 f(x_0) + w_1 f(x_1) + \cdots + w_n f(x_n). \quad (4.31)$$

Body  $x_0, x_1, \dots, x_n$  se nazývají **uzly** a čísla  $w_0, w_1, \dots, w_n$  **koeficienty** (někdy také **váhy**) kvadraturní formule.

**Gaussovy kvadraturní formule** vybírají uzly a koeficienty tak, aby formule měla maximální řád  $r = 2n + 1$  (dá se ukázat, že vyšší řád formule (4.31) mít nemůže). Gaussovy formule se běžně uvádějí pro interval  $\langle -1, 1 \rangle$ . To však není žádné omezení, neboť substitucí

$$x = \frac{a+b}{2} + \frac{b-a}{2} t$$

lze výpočet integrálu převést z intervalu  $\langle a, b \rangle$  na interval  $\langle -1, 1 \rangle$ . Uzly a koeficienty Gaussových formulí najdeme v každé učebnici numerické matematiky. My zde uvedeme jen první tři formule pro  $n = 0, 1, 2$  (pro výpočet integrálu na intervalu  $\langle -1, 1 \rangle$ ):

$$Q_{G0}(f) = 2f(0),$$

$$R_{G0}(f) = \frac{1}{3}f''(\xi),$$

$$Q_{G1}(f) = f\left(-\frac{1}{\sqrt{3}}\right) + f\left(\frac{1}{\sqrt{3}}\right),$$

$$R_{G1}(f) = \frac{1}{135}f^{(4)}(\xi),$$

$$Q_{G2}(f) = \frac{5}{9}f(-\sqrt{0,6}) + \frac{8}{9}f(0) + \frac{5}{9}f(\sqrt{0,6}), \quad R_{G2}(f) = \frac{1}{15\,750}f^{(6)}(\xi).$$

Ve vzorcích pro chybu je  $\xi$  nějaký (blíže neurčený) bod z intervalu  $(-1, 1)$ , pro každou formuli obecně jiný. Všimněte si, že  $Q_{G0}(f)$  je obdélníková formule. Formule  $Q_{G1}(f)$  integruje přesně polynomy stupně 3 stejně jako Simpsonova formule. Zatímco Simpsonova formule  $Q_S(f)$  je tříbodová, Gaussova formule  $Q_{G1}(f)$  je jen dvoubodová. Srovnáním tvaru zbytku  $R_S(f)$  Simpsonovy formule a  $R_{G1}(f)$  Gaussovy formule lze usuzovat, že Gaussova formule je přibližně o 50% přesnější. Tříbodová formule  $Q_{G2}(f)$  integruje přesně polynomy stupně 5. Když má funkce  $f$  dostatečný počet spojitých derivací, lze používat Gaussovy formule vysokých řadů (třeba až 19 pro desetibodovou formuli), které jsou velmi přesné.

**Adaptivní integrace** je založena na nerovnoměrném dělení intervalu integrace  $\langle a, b \rangle$ : v místech, kde je integrovaná funkce dostatečně hladká a mění se pomalu, použijeme dělení hrubší, a v místech, kde je výpočet integrálu obtížný, použijeme dělení jemnější.

Vysvětlete si, jak se to dá prakticky udělat. Integrál  $I(a, b) := \int_a^b f(x) dx$  počítáme dvěma kvadraturními formulami: základní formulí  $Q_1(a, b)$  a přesnější formulí  $Q_2(a, b)$ . Když si představíme, že formule  $Q_2$  je zcela přesná, můžeme chybu  $I(a, b) - Q_1(a, b)$  approximovat výrazem  $Q_2(a, b) - Q_1(a, b)$ . Proto, je-li  $|Q_2(a, b) - Q_1(a, b)| \leq \varepsilon$ , kde  $\varepsilon$  je zadaná přesnost, považujeme  $Q(a, b, \varepsilon) := Q_2(a, b)$  za přibližnou hodnotu integrálu  $I(a, b)$ . V opačném případě, tj. pro  $|Q_2(a, b) - Q_1(a, b)| > \varepsilon$ , interval  $\langle a, b \rangle$  rozdělíme na dva stejně dlouhé intervaly  $\langle a, c \rangle$  a  $\langle c, b \rangle$ , kde  $c = (a + b)/2$ , na těchto intervalech spočteme nezávisle na sobě přibližné hodnoty  $Q_{ac} := Q(a, c, \hat{\varepsilon})$  a  $Q_{cb} := Q(c, b, \hat{\varepsilon})$  integrálů  $I(a, c)$  a  $I(c, b)$ , a nakonec položíme  $Q(a, b, \varepsilon) := Q_{ac} + Q_{cb}$ . Algoritmus je rekurzivní: výpočet  $Q(a, c, \hat{\varepsilon})$  a  $Q(c, b, \hat{\varepsilon})$  na „dceřinných“ intervalech  $\langle a, c \rangle$  a  $\langle c, b \rangle$  probíhá analogicky jako výpočet  $Q(a, b, \varepsilon)$  na „mateřském“ intervalu  $\langle a, b \rangle$ .

Šíkovnou implementaci adaptivní integrace dostaneme, když základní formule  $Q_1$  je složená Simpsonova formule  $Q_S^4$  a přesnější formule  $Q_2$  je Booleova formule  $Q_B \equiv Q_B^4$ . Obě formule používají stejné uzly: krajní body  $a, b$ , střed  $c = \frac{1}{2}(a + b)$  a body  $d = a + \frac{1}{4}(b - a)$  v jedné čtvrtině a  $e = b - \frac{1}{4}(b - a)$  ve třech čtvrtinách intervalu  $\langle a, b \rangle$ . Na dceřinném intervalu proto stačí dopočítat jen dvě hodnoty  $f(d)$  a  $f(e)$ , neboť zbývající tři hodnoty  $f(a)$ ,  $f(b)$  a  $f(c)$  se převezmou z mateřského intervalu.

Protože délka dceřinného intervalu je rovna polovině délky intervalu mateřského, zdá se přirozené volit  $\hat{\varepsilon} = \frac{1}{2}\varepsilon$ . Teoretická analýza i praktické zkušenosti však potvrdily, že stačí uvažovat  $\hat{\varepsilon} = \varepsilon$ . Podrobný popis tohoto algoritmu může čtenář najít např. v [Moler] nebo [Mathews, Fink], viz také funkce quad v MATLABu.

Hruhý popis zaznamenává následující

### algoritmus ADAPT:

```
function  $Q(f, a, b, \varepsilon)$  ;
   $I_1 := Q_1(f, a, b)$ ; { Simpsonova formule  $Q_S^4$  }
   $I_2 := Q_2(f, a, b)$ ; { Booleova formule  $Q_B^4$  }
   $c := (a + b)/2$ ; { střed intervalu  $\langle a, b \rangle$  }
  if  $\text{abs}(I_2 - I_1) < \varepsilon$  then { je dosažena požadovaná přesnost ? }
     $Q := I_2$  { ano, hodnota  $I_2$  se akceptuje }
  else { ne, rekurzivní volání funkce  $Q$  na }
     $Q := Q(f, a, c, \varepsilon) + Q(f, c, b, \varepsilon)$  { dceřinných subintervalech  $\langle a, c \rangle$  a  $\langle c, b \rangle$  }
```

Kvůli jednoduchosti jsme do algoritmu ADAPT nezahrnuli přenos funkčních hodnot  $f(a)$ ,  $f(d)$ ,  $f(c)$ ,  $f(e)$  a  $f(b)$  (používají se při vyhodnocení formulí  $Q_1$  a  $Q_2$ ) z mateřského intervalu  $\langle a, b \rangle$  do dceřinných intervalů  $\langle a, c \rangle$  a  $\langle c, b \rangle$ .

**Podmíněnost numerického výpočtu integrálu.** Ukážeme, že výpočet podle kvadraturní formule (4.31) s kladnými koeficienty  $w_i$  je dobře podmíněná úloha. Pro jednoduchost se omezíme jen na prozkoumání vlivu nepřesnosti ve funkčních hodnotách, tj. nebudeme uvažovat zaokrouhlovací chyby vznikající při provádění aritmetických operací v průběhu vyhodnocování formule.

Předpokládejme tedy, že místo přesných hodnot  $f(x_i)$  dosadíme do formule přibližné hodnoty  $\tilde{f}(x_i) = f(x_i) + \varepsilon_i$ . Pak

$$\tilde{Q}(f) := \sum_{i=0}^n w_i \tilde{f}(x_i) = \sum_{i=0}^n w_i f(x_i) + \sum_{i=0}^n w_i \varepsilon_i = Q(f) + \sum_{i=0}^n w_i \varepsilon_i .$$

V dalším využijeme toho, že každá smysluplná formule integruje přesně konstantní funkci. Pak ale  $\sum_{i=0}^n w_i = Q(1) = \int_a^b 1 \, dx = b - a$ . Když označíme  $\varepsilon = \max_i |\varepsilon_i|$  velikost maximální chyby ve funkčních hodnotách, dostaneme pro chybu kvadraturní formule odhad

$$|\tilde{Q}(f) - Q(f)| = \left| \sum_{i=0}^n w_i \varepsilon_i \right| \leq \sum_{i=0}^n w_i |\varepsilon_i| \leq \varepsilon \sum_{i=0}^n w_i = (b - a)\varepsilon .$$

Odtud je vidět, že když jsou chyby  $\varepsilon_i$  malé, je chyba kvadraturní formule také malá.

**Numerický výpočet integrálu funkce dvou proměnných.** V odstavci věnovaném interpolaci fukcí více proměnných jsme uvedli dva příklady, jak funkci  $f$  v oblasti  $\Omega$  approximovat interpolantem  $S$ . Integrací funkce  $S$  přes oblast  $\Omega$  pak dostaneme složenou kvadraturní formuli  $Q(f) = \int_{\Omega} S(x, y) dx dy$  approximující  $I(f) = \int_{\Omega} f(x, y) dx dy$ .

V případě po částech lineární interpolace

$$Q(f) = \int_{\Omega} S(x, y) dx dy = \sum_{k=1}^m \int_{T_k} S_k(x, y) dx dy,$$

kde  $S_k$  je lineární polynom jednoznačně určený hodnotami funkce  $f$  ve vrcholech trojúhelníka  $T_k$  a  $\Omega = T_1 \cup T_2 \cup \dots \cup T_m$ . Snadným výpočtem dostaneme

$$\int_{T_k} S_k(x, y) dx dy = \frac{1}{3} |T_k| \cdot [f(A_k) + f(B_k) + f(C_k)],$$

kde  $|T_k|$  je obsah trojúhelníka  $T_k$  a  $f(A_k), f(B_k), f(C_k)$  jsou hodnoty funkce  $f$  ve vrcholech  $A_k, B_k, C_k$  trojúhelníka  $T_k$ . Pro  $f \in C^2(\Omega)$  je  $|I(f) - R(f)| \leq Ch^2$ , kde  $h$  je nejdelší strana trojúhelníků  $T_k$  a  $C$  je konstanta nezávislá na  $h$ . Vidíme tedy, že chyba je libovolně malá, když zvolíme dostatečně jemnou triangulaci oblasti  $\Omega$ .

V případě bilineární interpolace postupujeme podobně:

$$Q(f) = \int_{\Omega} S(x, y) dx dy = \sum_{i=1}^n \sum_{j=1}^m \int_{R_{ij}} S_{ij}(x, y) dx dy ,$$

kde  $S_{ij}$  je bilineární polynom jednoznačně určený hodnotami funkce  $f$  ve vrcholech čtyřúhelníka  $R_{ij}$  a  $\Omega = R_{11} \cup R_{12} \cup \dots \cup R_{nm}$ . Na obdélníku  $R_{ij}$  pak snadno odvodíme

$$\int_{R_{ij}} S_{ij}(x, y) dx dy = \frac{1}{4} |R_{ij}| \cdot (f_{i-1,j-1} + f_{i,j-1} + f_{i-1,j} + f_{ij}) ,$$

kde  $|R_{ij}| = (x_i - x_{i-1})(y_j - y_{j-1})$  je obsah obdélníka  $R_{ij}$ . Pokud  $f \in C^2(\Omega)$ , pak pro chybu platí  $|I(f) - R(f)| \leq C(h^2 + k^2)$ , kde  $h = \max_i (x_i - x_{i-1})$ ,  $k = \max_j (y_j - y_{j-1})$  a kde  $C$  je konstanta nezávislá na  $h$ ,  $k$ . Chybu zřejmě opět učiníme libovolně malou, pokud obdélník  $\Omega$  rozdělíme dostatečně jemně.

# Obsah

## 4 Numerický výpočet derivace a integrálu

- Úvod
- Numerické derivování
- Richardsonova extrapolace
- Numerické integrování
  - Základní formule
  - Složené formule
  - Doplňující poznatky

### • Literatura

-  I.S. Berezin, N.P. Židkov: *Čislennye metody I,II*, Nauka, Moskva, 1962.
-  G. Dahlquist, G. Å Björk: *Numerical Methods*, Prentice-Hall, Englewood Cliffs, NJ, 1974.
-  M. Fiedler: *Speciální matice a jejich použití v numerické matematice*, SNTL, Praha, 1981.
-  D. Hanselman, B. Littlefield: *Mastering MATLAB 7*, Pearson Prentice Hall, Upper Saddle River, NJ, 2005.
-  G. Hämmerlin, K. H. Hoffmann: *Numerical Mathematics*, Springer-Verlag, Berlin, 1991.
-  M. T. Heath: *Scientific Computing. An Introductory Survey*, McGraw-Hill, New York, 2002.
-  I. Horová, J. Zelinka: *Numerické metody*, učební text Masarykovy univerzity, Brno, 2004.
-  J. Kobza: *Splajny*, učební text Palackého univerzity, Olomouc, 1993.
-  J. Klapka, J. Dvořák, P. Popela: *Metody operačního výzkumu*, učební text, FSI VUT Brno, 2001.

-  J. H. Mathews, K. D. Fink: *Numerical Methods Using MATLAB*, Pearson Prentice Hall, New Jersey, 2004.
-  MATLAB: *Mathematics*, Version 7, The MathWorks, Inc., Natick, 2004.
-  G. Meurant: *Computer Solution of Large Linear Systems*, Elsevier, Amsterodam, 1999.
-  S. Míka: *Numerické metody algebry*, SNTL, Praha, 1985..
-  C. B. Moler: *Numerical Computing with MATLAB*, Siam, Philadelphia, 2004.  
<http://www.mathworks.com/moler>.
-  J. Nocedal, S. J. Wright: *Numerical Optimization, Springer Series in Operations Research*, Springer, Berlin, 1999.
-  A. Quarteroni, R. Sacco, F. Saleri: *Numerical Mathematics*, Springer, Berlin, 2000.
-  W. H. Press, B. P. Flannery, S. A. Teukolsky, W. T. Vetterling: *Numerical Recipes in Pascal, The Art of Scientific Computing*, Cambridge University Press, Cambridge, 1990.

-  P. Přikryl: *Numerické metody matematické analýzy*, SNTL, Praha, 1985.
-  A. R. Ralston: *Základy numerické matematiky*, Academia, Praha, 1973.
-  K. Rektorys: *Přehled užité matematiky I,II*, Prometheus, Praha, 1995.
-  J. Stoer, R. Bulirsch: *Introduction to Numerical Analysis*, Springer-Verlag, New York, 1993.
-  E. Vitásek: *Numerické metody*, SNTL, Praha, 1987.
-  W. Y. Yang, W. Cao, T. S. Chung, J. Morris: *Applied Numerical Methods Using Matlab*, John Wiley & Sons, New Jersey, 2005.